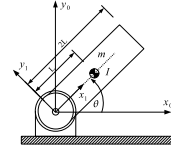


Laboratorium Sterowania Robotów Manipulacyjnych

Instytut Automatyki i Robotyki
Politechnika Poznańska
IAR-PP

oprac. Maciej M. Michałek



ĆWICZENIE 4

JAKOŚĆ STEROWANIA Z REGULATOREM ROOS DLA DWÓCH RODZAJÓW OGRANICZONYCH PODPRZESTRZENI STEROWAŃ: HIPERKULI I HIPERPROSTOPADŁOŚCIANU

Przedmiotem analizy jest jakość działania *Regulatora Odpornego z Ograniczeniami na Sterowanie* – tzw. regulatora ROOS. Zastosowanie tego regulatora dopuszcza występowanie nieznajomości parametrycznej a nawet strukturalnej modelu sterowanego systemu gwarantując jednocześnie zbieżność i ograniczoną końcową błądów śledzenia dla ograniczonej trajektorii w przestrzeni konfiguracyjnej¹. Proponowany algorytm sterowania uwzględnia wprost ograniczenia wartości momentów sterujących występujących podczas każdej praktycznej implementacji algorytmu sterowania [2] gwarantując, że

$$\forall t \geq 0 \quad \|\tau(t)\| \leq \tau_{max},$$

gdzie τ_{max} oznacza górne ograniczenie normy obliczanego wektora sterowań $\tau(t)$. Efektywność wykorzystania dostępnej mocy wszystkich napędów manipulatora przy jednoczesnym spełnieniu powyższej nierówności zależy od właściwego sposobu ograniczania poszczególnych momentów sterujących. Poniżej przeanalizowane zostaną dwa przypadki, w których ograniczanie momentów sterujących jest związane z wyborem kształtu podprzestrzeni sygnałów sterujących jako hiperkuli bądź jako hiperprostopadłościanu.

Rozważmy nieliniowe równania wektorowo-macierzowe reprezentujące model manipulatora PM2R postaci:

$$\mathbf{M}(\mathbf{q})\ddot{\mathbf{q}} + \mathbf{h}(\mathbf{q}, \dot{\mathbf{q}}) = \boldsymbol{\tau}, \quad (1)$$

gdzie: $\mathbf{h}(\mathbf{q}, \dot{\mathbf{q}}) \triangleq \mathbf{C}(\mathbf{q}, \dot{\mathbf{q}})\dot{\mathbf{q}} + \mathbf{G}(\mathbf{q}) + \mathbf{F}(\dot{\mathbf{q}})$ oraz $\mathbf{M}_{2 \times 2}$ – macierz bezwładności manipulatora, $\mathbf{C}_{2 \times 2}$ – macierz współczynników uogólnionych sił Coriolisa i odśrodkowych, $\mathbf{G}_{2 \times 1}$ – wektor uogólnionych sił grawitacji, $\mathbf{F}_{2 \times 1}$ – wektor uogólnionych sił tarcia, $\boldsymbol{\tau}_{2 \times 1} \in \mathcal{T}$ – wektor uogólnionych sił wymuszających ($\mathcal{T} \subset \mathbb{R}^2$ – przestrzeń wymuszeń/sterowań). Załóżmy, że równanie (1) nie jest w pełni znane projektantowi systemu sterowania. Ze względu na nieznajomość prawdziwych wartości parametrów dynamicznych \mathbf{p} manipulatora, a także ze względu na błąd struktury modelu (pominięcie pewnych elementów występujących w rzeczywistej macierzy $\mathbf{M}(\mathbf{q})$ lub/i rzeczywistym wektorze reszty dynamiki $\mathbf{h}(\mathbf{q}, \dot{\mathbf{q}})$) pojawi się niepewność modelowania postaci $\Delta \mathbf{M}, \Delta \mathbf{h}$, a w szczególnym przypadku także niepewność strukturalna, dla której $\mathbf{M}^*(\mathbf{q}) \neq \mathbf{M}(\mathbf{q})$ oraz $\mathbf{h}^*(\mathbf{q}, \dot{\mathbf{q}}) \neq \mathbf{h}(\mathbf{q}, \dot{\mathbf{q}})$ (por. ćwiczenie 2).

¹Trajektoria referencyjna musi spełniać założenia **A1-A4** (patrz dalej).

1 Sterowanie w podprzestrzeni typu *hiperkula*

Założmy, że manipulator PM2R (równanie (1)) wyposażony jest w napędy zdolne do wytworzenia skończonych wartości momentów napędowych² $\tau_{1max} > 0, \tau_{2max} > 0$. Zatem w całym czasowym horyzoncie sterowania prawdziwe muszą być relacje:

$$\sup_{t \geq 0} |\tau_1(t)| \leq \tau_{1max}, \quad \sup_{t \geq 0} |\tau_2(t)| \leq \tau_{2max}, \quad \text{gdzie} \quad [\tau_1(t) \ \tau_2(t)]^T \triangleq \boldsymbol{\tau}(t). \quad (2)$$

Poniżej przedstawione zostanie prawo sterowania, które gwarantuje spełnienie nierówności (2) i jednocześnie zbieżność i ograniczoność końcową błędów śledzenia.

Na początku zakładamy, że trajektorie zadane (referencyjne) są ograniczone, tzn.:

$$\mathbf{A1} : \sup_{t \geq 0} \|\mathbf{q}_d(t)\| \leq c_1,$$

$$\mathbf{A2} : \sup_{t \geq 0} \|\dot{\mathbf{q}}_d(t)\| \leq c_2,$$

$$\mathbf{A3} : \sup_{t \geq 0} \|\ddot{\mathbf{q}}_d(t)\| \leq c_3,$$

gdzie $c_1, c_2, c_3 > 0$ oznaczają pewne stałe dodatnie. Dodatkowo zakłada się, że dostępna moc zastosowanych napędów (wynikająca między innymi z wartości $\tau_{imax}, i = 1, 2$) pozwala generalnie na realizację trajektorii zadanej:

$$\mathbf{A4} : \sup_{t \geq 0} \|\boldsymbol{\tau}_d(t)\| = \sup_{t \geq 0} \|\mathbf{M}(\mathbf{q}_d(t))\ddot{\mathbf{q}}_d(t) + \mathbf{h}(\mathbf{q}_d(t), \dot{\mathbf{q}}_d(t))\| < \tau_{max},$$

co oznacza, że trajektoria zadana jest tak zaprojektowana, by była realizowalna pomimo obecności ograniczeń sygnałów sterujących robota. Nierówność ostra w założeniu **A4** wskazuje na występowanie koniecznej nadwyżki dostępnego momentu napędowego potrzebnego do ograniczenia wpływu zakłóceń i uchybów początkowych.

Wprowadźmy uogólniony (ważony) błąd śledzenia trajektorii:

$$\mathbf{r}(t) \triangleq \dot{\mathbf{e}}(t) + \boldsymbol{\Lambda} \mathbf{e}(t), \quad (3)$$

gdzie: $\mathbf{e}(t) \triangleq \mathbf{q}_d(t) - \mathbf{q}(t)$, $\dot{\mathbf{e}}(t) \triangleq \dot{\mathbf{q}}_d(t) - \dot{\mathbf{q}}(t)$, a diagonalna macierz dodatnich współczynników wzmocnienia (wag) ma postać:

$$\boldsymbol{\Lambda} \triangleq \begin{bmatrix} \lambda_{11} & 0 \\ 0 & \lambda_{22} \end{bmatrix}, \quad \lambda_{11}, \lambda_{22} > 0.$$

Uwzględniając występowanie praktycznych ograniczeń momentów napędowych manipulatora, wprowadza się wektor ograniczeń sygnałów sterujących:

$$\boldsymbol{\tau}_{max} \triangleq \begin{bmatrix} \tau_{1max} \\ \tau_{2max} \end{bmatrix}, \quad (4)$$

gdzie $\tau_{imax}, i = 1, 2$ spełniają nierówności (2).

Zgodnie z propozycją [2], odporne ciągle prawo sterowania w przestrzeni typu hiperkula (lub inaczej: regulator ROOS w przestrzeni typu hiperkula) ma następującą postać:

$$\boldsymbol{\tau}(t) \triangleq \begin{cases} \frac{\tau_{HKmax}}{\|\mathbf{r}(t)\|} \mathbf{r}(t) & \text{dla } \|\mathbf{r}(t)\| \geq \epsilon, \\ \frac{\tau_{HKmax}}{\epsilon} \mathbf{r}(t) & \text{dla } \|\mathbf{r}(t)\| < \epsilon, \end{cases} \quad (5)$$

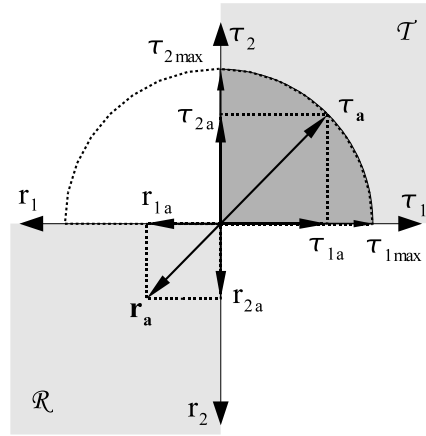
²W sensie wartości bezwzględnej.

gdzie górne ograniczenie τ_{HKmax} normy wektora sterowań $\boldsymbol{\tau}(t)$ zdefiniowane jest następująco:

$$\tau_{HKmax} \triangleq \min_{i=1,2} \{\tau_{imax}\} \stackrel{(5)}{\Rightarrow} \forall t \geq 0 \quad \|\boldsymbol{\tau}(t)\| \leq \tau_{HKmax}, \quad (6)$$

a elementy τ_{imax} wynikają z (4). Błąd ważony $\mathbf{r}(t)$ w (5) zdefiniowany jest wzorem (3), a współczynnik $\epsilon > 0$ stanowi założoną wartość normy ważonego błędu śledzenia \mathbf{r} .

Zauważmy, że wartość ograniczenia τ_{HKmax} z (6) jest promieniem hiperkuli $\mathbf{B}_{\tau_{HKmax}}^2$ o środku w początku układu współrzędnych dwuwymiarowej przestrzeni sterowań \mathcal{T} (w ogólnym przypadku manipulatora o n stopniach swobody, przestrzeń sterowań $\mathcal{T} \subset \mathbb{R}^n$ jest n -wymiarowa). Dla manipulatora PM2R dwuwymiarowa hiperkula $\mathbf{B}_{\tau_{HKmax}}^2$ staje się kołem o promieniu τ_{HKmax} w przestrzeni sterowań $\mathcal{T} \subset \mathbb{R}^2$ (rys. 1). Zgodnie z (6), promień takiej kuli jest równy zawsze najmniejszej wartości elementu z wektora $\boldsymbol{\tau}_{max}$.



Rysunek 1: Hiperkula $\mathbf{B}_{\tau_{HKmax}}^2$ w przestrzeni sterowań $\mathcal{T} \subset \mathbb{R}^2$ dla $\tau_{1max} = \tau_{2max}$ oraz konstrukcja wektora sterowania $\boldsymbol{\tau}_a$ (indeks a należy interpretować następująco: $\boldsymbol{\tau}_a = \boldsymbol{\tau}(t_a)$, $\mathbf{r}_a = \mathbf{r}(t_a)$).

Proponowane sterowanie odporne (5) należy do klasy ciągłych sterowań z *wektorem jednostkowym* (ang. *unit vector control* [3]) i nie zależy od elementów modelu manipulatora (1).

Należy zwrócić uwagę, iż w całym horyzoncie czasowym $t \geq 0$ wartość sterowania (5) nie przekracza ograniczenia τ_{HKmax} , a tym samym najmniejszej wartości elementu wektora ograniczeń $\boldsymbol{\tau}_{max} = [\tau_{1max} \ \tau_{2max}]^T$ czyniąc zadość nierównościom (2). Dodatkowo sterowanie (5) wewnątrz tunelu ϵ przyjmuje postać klasycznego zdecentralizowanego regulatora PD:

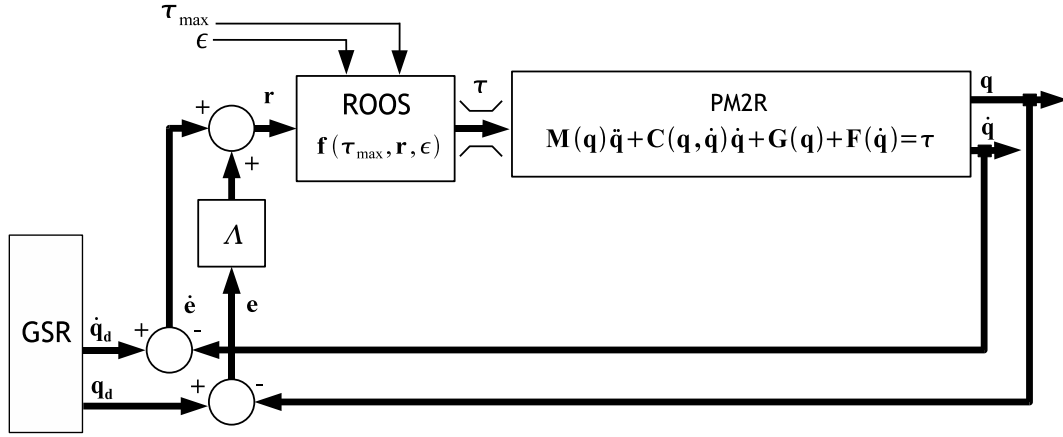
$$\text{dla } \|\mathbf{r}(t)\| < \epsilon : \quad \boldsymbol{\tau}(t) \stackrel{(5)}{=} \frac{\tau_{HKmax}}{\epsilon} \mathbf{r}(t) \stackrel{(3)}{=} \mathbf{K}_v \dot{\mathbf{e}}(t) + \mathbf{K}_p \mathbf{e}(t),$$

o wzmocnieniach $\mathbf{K}_p = \frac{\tau_{HKmax}}{\epsilon} \boldsymbol{\Lambda}$, $\mathbf{K}_v = \frac{\tau_{HKmax}}{\epsilon} \mathbf{I}$.

- 1.1** Przyjąć jednakowe ograniczenia momentów napędowych dla obu silników manipulatora PM2R stanowiących jednocześnie górne ograniczenie normy wektora sterowań $\boldsymbol{\tau}$:

$$\tau_{1max} = \tau_{2max} \quad \Rightarrow \quad \tau_{HKmax} \stackrel{(6)}{=} \tau_{1max} = \tau_{2max}.$$

- 1.2** Zamodelować równanie regulatora ROOS według (5) i zastosować je do manipulatora (1) (rys. 2). Zapewnić możliwość swobodnej zmiany wartości zakładanego tunelu ϵ . Wartości elementów macierzy $\boldsymbol{\Lambda}$ dobrać doświadczalnie tak, aby zapewnić minimalne przeregulowania w przebiegu błędu pozycji $\mathbf{e}(t)$.



Rysunek 2: Schemat blokowy układu sterowania odpornego uwzględniający ograniczenia na sterowanie τ (poprzez symboliczny zapis $f(\tau_{max}, r, \epsilon)$ należy rozumieć prawo sterowania (5) lub (8) - (11).

- 1.3 Przeprowadzić symulację odpowiedzi systemu sterowania z manipulatorem PM2R dla skokowych wartości zadanych pozycji (przyjąć: $\ddot{q}_d = \dot{q}_d = 0$):

$$q_d = [Q_{1d} \quad Q_{2d}]^T \cdot \mathbf{1}(t).$$

- Czy błędy śledzenia zmierzają asymptotycznie do zera? Przeanalizować zbieżność błędów śledzenia dla różnych wartości parametru ϵ . Czy sygnały sterujące spełniają nierówności (2)? Z badać wpływ wartości współczynnika ϵ na występowanie zjawiska drgań sterowania (ang. chattering). Czy można przyjąć $\epsilon = 0$, aby uzyskać asymptotyczną zbieżność błędów śledzenia do zera? Odpowiedź uzasadnić.

- 1.4 Przeprowadzić symulacje odpowiedzi systemu sterowania z manipulatorem PM2R dla następujących przebiegów wartości zadanych pozycji:

$$q_d(t) = \begin{bmatrix} Q_{1d} \sin(\omega_1 t) \\ Q_{2d} \sin(\omega_2 t) \end{bmatrix} \quad \text{oraz} \quad q_d(t) = \begin{bmatrix} Q_{d01} + Q_{d11}t + Q_{d21}t^2 + Q_{d31}t^3 \\ Q_{d02} + Q_{d12}t + Q_{d22}t^2 + Q_{d32}t^3 \end{bmatrix}.$$

- Jak zachowują się błędy śledzenia? Odnieść uzyskane przebiegi błędów do przyjętej wartości współczynnika ϵ . Przeanalizować przebiegi sygnałów sterujących. Czy nadal spełnione są nierówności (2)?

- 1.5 Przyjąć ograniczenia momentów napędowych dla obu silników manipulatora PM2R następująco:

$$\tau_{2max} = 0.5\tau_{1max} \Rightarrow \tau_{HKmax} \stackrel{(6)}{=} \tau_{2max}.$$

Przeprowadzić symulację odpowiedzi systemu sterowania z manipulatorem PM2R dla skokowych wartości zadanych pozycji (przyjąć: $\ddot{\mathbf{q}}_d = \dot{\mathbf{q}}_d = \mathbf{0}$):

$$\mathbf{q}_d = [Q_{1d} \quad Q_{2d}]^T \cdot \mathbf{1}(t).$$

- Przeanalizować przebiegi sterowań. Jaka jest maksymalna wartość sterowania w całym horyzoncie czasowym symulacji? Czy algorytm sterowania (5) pozwala na pełne wykorzystanie dostępnego momentu napędowego pierwszego ogniwa? Odpowiedź uzasadnić.

Zmniejszając wartość τ_{1max} znaleźć doświadczalnie taką wartość ograniczenia $\overline{\tau_{max}}$, dla którego sterowanie (5) zastosowane do manipulatora (1) nie zapewnia zbieżności błędu regulacji \mathbf{e} do otoczenia zera definiowanego wartością ϵ (dla skokowych wartości zadanych). Zapisać znalezioną wartość $\overline{\tau_{max}}$.

2 Sterowanie w podprzestrzeni typu *hiperprostopadłości*

Sterowanie (5) w podprzestrzeni typu *hiperkula* nie pozwala na pełne wykorzystanie dostępnych momentów napędowych zastosowanych w manipulatorze aktuatorów [1]. Aby wyeliminować tę niedogodność należy zmienić rodzaj podprzestrzeni, w której będzie generowane sterowanie $\boldsymbol{\tau}$. W tym celu przypomnijmy wektor ograniczeń $\boldsymbol{\tau}_{max}$ i wprowadźmy diagonalną macierz ograniczeń $\boldsymbol{\mathcal{T}}_{max}$:

$$\boldsymbol{\tau}_{max} \triangleq \begin{bmatrix} \tau_{1max} \\ \tau_{2max} \end{bmatrix}, \quad \boldsymbol{\mathcal{T}}_{max} \triangleq \begin{bmatrix} \tau_{1max} & 0 \\ 0 & \tau_{2max} \end{bmatrix} \quad (7)$$

Obliczanie prawa sterowania ROOS w nowej przestrzeni sterowań typu *hiperprostopadłości* wymaga przeprowadzenia następujących operacji [1]:

- I. obliczanie wektora *potencjalnego* sterowania $\boldsymbol{\tau}_p(t)$ o kierunku zgodnym z chwilowym kierunkiem wektora błędu śledzenia $\mathbf{r}(t)$ (tak obliczony wektor sterowań nie może być jeszcze podany na manipulator (1) bowiem w ogólności nie spełnia nierówności (2)):

$$\boldsymbol{\tau}_p(t) = \begin{bmatrix} \tau_{p1}(t) \\ \tau_{p2}(t) \end{bmatrix} \triangleq \begin{cases} \frac{\tau_{HPmax}}{\|\mathbf{r}(t)\|} \mathbf{r}(t) & \text{dla } \|\mathbf{r}(t)\| \geq \epsilon, \\ \frac{\tau_{HPmax}}{\epsilon} \mathbf{r}(t) & \text{dla } \|\mathbf{r}(t)\| < \epsilon, \end{cases} \quad (8)$$

przy czym

$$\tau_{HPmax} \triangleq \|\boldsymbol{\tau}_{max}\| \stackrel{(7)}{=} \sqrt{\tau_{1max}^2 + \tau_{2max}^2}, \quad (9)$$

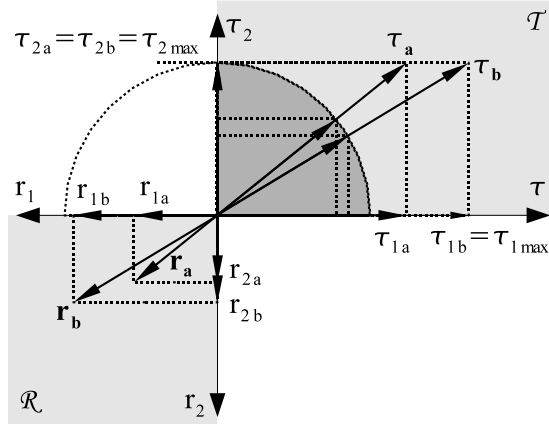
- II. określenie współczynnika skalującego k w postaci:

$$k(t) \triangleq \left[\max \left\{ 1; \frac{|\tau_{p1}(t)|}{\tau_{1max}}, \frac{|\tau_{p2}(t)|}{\tau_{2max}} \right\} \right]^{-1}, \quad (10)$$

- III. skalowanie sterowania *potencjalnego* $\boldsymbol{\tau}_p(t)$ tak, aby spełnić nierówności (2):

$$\boldsymbol{\tau}(t) \triangleq k(t)\boldsymbol{\tau}_p(t). \quad (11)$$

Należy zauważyć, iż przeskalowany zgodnie z (11) wektor sterowania $\tau(t)$ zachowuje kierunek wektora *potencjalnego* sterowania $\tau_p(t)$ (zmianie ulega tylko norma wektora). Korzyści ze stosowania nowej podprzestrzeni sterowań typu *hiperprostopadłości* przedstawiono na rys. 3 (dla $n = 2$ hiperprostopadłości przechodzi w prostokąt o długościach boków $2\tau_{1max}$, $2\tau_{2max}$), gdzie zwrócono uwagę na porównanie wektorów sterowań generowanych w obu typach przestrzeni. Sterowania z hiperprostopadłości mają większe normy niż sterowania z hiperkuli (kolor ciemno-szary). Własność ta pozwala na pełne wykorzystanie dostępnych momentów napędowych manipulatora.



Rysunek 3: Konstrukcja wektorów sterowań τ_a , τ_b w przestrzeni sterowań $\mathcal{T} \subset \mathbb{R}^2$ typu *hiperprostopadłości* dla dwóch przykładowych chwilowych wektorów uogólnionego błędu śledzenia r_a , r_b . Dla porównania, na rysunku zaznaczono obszar dopuszczalnych sterowań równoważny dla przestrzeni typu *hiperkula* – kolor ciemno-szary.

- 2.1** Przyjąć jednakowe ograniczenia momentów napędowych dla obu silników manipulatora PM2R:

$$\tau_{1max} = \tau_{2max} \Rightarrow \tau_{HPmax} \stackrel{(9)}{=} \|\tau_{max}\| = \sqrt{\tau_{1max}^2 + \tau_{2max}^2}.$$

- 2.2** Zamodelować równanie regulatora ROOS z (11) i zastosować ją do manipulatora (1). Zapewnić możliwość swobodnej zmiany wartości zakładanego tunelu ϵ . Wartości elementów macierzy Λ dobrać doświadczalnie tak, aby zapewnić minimalne przeregulowania w przebiegu błędu pozycji $e(t)$.

- 2.3** Przeprowadzić symulację odpowiedzi systemu sterowania z manipulatorem PM2R dla skokowych wartości zadanych pozycji (przyjąć: $\ddot{\mathbf{q}}_d = \dot{\mathbf{q}}_d = \mathbf{0}$):

$$\mathbf{q}_d = [Q_{1d} \quad Q_{2d}]^T \cdot \mathbf{1}(t).$$

- Czy błędy śledzenia zmierzają asymptotycznie do zera? Czy sygnały sterujące spełniają nierówności (2)? Porównać jakość sterowania (dynamiczną i statyczną) po zastosowanie algorytmów (5) i (11) dla tych samych wartości ograniczeń sygnałów sterujących: τ_{1max} , τ_{2max} .

- 2.4** Przyjąć ograniczenia momentów dla obu silników manipulatora PM2R następująco:

$$\tau_{2max} = 0.5\tau_{1max}, \quad \tau_{HPmax} \stackrel{(9)}{=} \|\boldsymbol{\tau}_{max}\| = \sqrt{\tau_{1max}^2 + \tau_{2max}^2}.$$

- 2.5** Przeprowadzić symulację odpowiedzi systemu sterowania z manipulatorem PM2R dla skokowych wartości zadanych pozycji (przyjąć: $\ddot{\mathbf{q}}_d = \dot{\mathbf{q}}_d = \mathbf{0}$).

$$\mathbf{q}_d = [Q_{1d} \quad Q_{2d}]^T \cdot \mathbf{1}(t).$$

- Przeanalizować przebiegi sterowań. Jaka jest maksymalna wartość sterowania w całym horyzoncie czasowym symulacji? Czy prawo sterowania (11) ogranicza normę sterowania $\boldsymbol{\tau}$ do wartości dopuszczalnego sterowania τ_{2max} mniejszego z zastosowanych napędów, jak w przypadku hiperkuli?

- 2.6** Zmienić wartości ograniczeń następująco:

$$\tau_{1max} = \overline{\tau_{max}}, \quad \tau_{2max} = 0.5\tau_{1max},$$

gdzie wartość $\overline{\tau_{max}}$ została znaleziona doświadczalnie w punkcie 1.5. Przeprowadzić symulacje odpowiedzi systemu sterowania z manipulatorem PM2R dla skokowych wartości zadanych pozycji zgodnie z wartościami przyjętymi podczas realizacji punktu 1.5.

- Czy jakość działania układu sterowania poprawiła się w stosunku do wyników z punktu 1.5? Porównać przebiegi sygnałów sterujących dla obu typów przestrzeni sterowania: hiperkuli oraz hiperprostopadłościanu, gdy $\tau_{1max} = \overline{\tau_{max}}$.

Literatura

- [1] P. Dutkiewicz, M. Michalski, M. Michałek. Robust tracking with control vector constraints. *Proceedings of the Second International Workshop on Robot Motion and Control*, strony 169–174, Bukowy Dworek, October 2001.
- [2] M. Galicki. Śledzenie odporne manipulatorów z ograniczeniem na sterowania. *Studia z Automatyki i Informatyki*, strony 83–92. Poznań, 2000.
- [3] L. Sciavicco, B. Siciliano. *Modelling and Control of Robot Manipulators*. Springer, London, 2002.